

**Теорема 1.** Пусть  $(\omega, J, h)$  – почти паракэлерова структура на алгебре Ли  $\mathfrak{h}$  и  $(\eta, \xi, \varphi, g)$  – соответствующая ей параконтактная метрическая структура на центральном расширении  $\mathfrak{g} = \mathfrak{h} \times_{\omega} \mathbf{R}$ . Тогда тензор кривизны  $R$  на  $\mathfrak{g}$  выражается через тензор кривизны  $R_{\mathfrak{h}}$  на  $\mathfrak{h}$ , форму  $\omega$  и почти паракомплексную структуру  $J$  на  $\mathfrak{h}$  по формулам:

$$R(X, Y)Z = R_{\mathfrak{h}}(X, Y)Z - \frac{1}{2} D_Z \omega(X, Y) \xi - \frac{1}{4} (\omega(Y, Z)JX -$$

$$-\omega(X, Z)JY) + \frac{1}{2} \omega(X, Y)JZ,$$

$$R(X, Y)\xi = -\frac{1}{2} ((D_X J)Y - (D_Y J)X),$$

$$R(X, \xi)Z = -\frac{1}{2}(D_X J)Z - \frac{1}{4} g(X, Z)\xi, \quad R(X, \xi)\xi = \frac{1}{4} X,$$

где  $X, Y \in \mathfrak{h}$ .

### Библиографический список

1. Bejan C.L., Eken S., Kılıç E. Legendre Curves on Generalized Paracontact Metric Manifolds,. Bull. Malays. Math. Sci. Soc. (2019) 42:185–199.
2. Prakash D.G., Para-Sasakian manifolds and \*-Ricci solitons [Электронный ресурс] / D.G. Prakash, Pundikala Veerasha // Cornell University Library: архив электронной печати. – Электрон.данные. – Режим доступа: <https://arxiv.org/pdf/1801.01727v1.pdf>.
3. Smolentsev N. K. Invariant pseudo-Sasakian and K-contact structures on seven-dimensional nilpotent Lie groups. SCIENCE EVOLUTION, 2017, vol. 2, no. 1, 91 – 99.
4. Blair D. E. Contact Manifolds in Riemannian Geometry. Lecture Notes in Mathematics. Springer–Verlag, Berlin Heidelberg New York, 1976.
5. Алексеевский, Д. В. Однородные пара-кэлеровы многообразия Эйнштейна [Текст] / Д. В. Алексеевский, К. Медори, А. Томассини: Успехи математических наук. – 2009. – том 64, выпуск 1(385). – С. 3–50. – Режим доступа: <https://doi.org/10.4213/rm9262>.

**УДК 579.64**

### Построение связной суммы компактных поверхностей

*М.А. Чешкова*

*АлтГУ, г. Барнаул*

Любая компактная поверхность гомеоморфна либо сфере, либо связной сумме торов, либо связной суммы проективных плоскостей [1, с. 24]. Римская поверхность, поверхность Боя и скрещенный колпак являются моделью проективной плоскости.

Связная сумма двух поверхностей образуется вырезанием топологического круга на каждой поверхности, и затем склеивание этих двух поверхностей вдоль границ этих кругов.

**Построение связной суммы двух торов.** Будем строить связную сумму двух торов. Рассмотрим тор

$$T : r(u, v) = ((3 + \sin(u)) \cos(v), (3 + \sin(u)) \sin(v), \sin(u)),$$

$$-\pi \leq u \leq \pi, -\pi \leq v \leq \pi).$$

Рассмотрим линию пересечения выпуклой части тора с плоскостью.  $y = p, 3 < p < 4$ . Получим овал. Имеем

$$(3 + \cos(u)) \sin(v) = p, \cos(v) = \pm \sqrt{1 - \frac{p^2}{(3 + \cos(u))^2}}.$$

Полагая  $p = \frac{7}{2}, 1 - \frac{(7/2)^2}{(3 + \cos(v))^2} \geq 0$ , получим  $-\frac{\pi}{3} \leq u \leq \frac{\pi}{3}$ .

Овал состоит из двух ветвей

$$O1 : r(u) = ((3 + \sin(u)) \sqrt{1 - \frac{(7/2)^2}{(3 + \cos(u))^2}}, 7/2, \sin(u)),$$

$$-\pi/3 \leq u \leq \pi/3,$$

$$O2 : r(u) = -((3 + \sin(u)) \sqrt{1 - \frac{(7/2)^2}{(3 + \cos(u))^2}}, 7/2, \sin(u)),$$

$$-\pi/3 \leq u \leq \pi/3.$$

Построим овал.

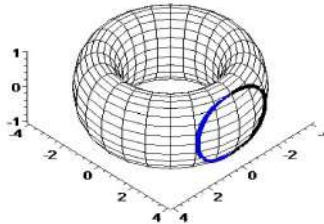


Рисунок 1 – Тор и овал

Вырежем овал. Для этого в уравнении тора изменим параметры.

Рассмотрим поверхности

$$T1 : -\pi/3 \leq u \leq \pi/3, \pi - \arcsin(7/2 / (3 + \cos(u))) \leq v$$

$$\leq 2\pi - \arcsin(7/2 / (3 + \cos(u))),$$

$$T2 : -\pi \leq u \leq \pi/3, -\pi \leq v \leq \pi,$$

$$T3 : \pi/3 \leq u \leq \pi, -\pi \leq v \leq \pi).$$

Построим их.

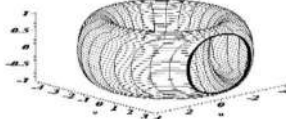


Рисунок 2 – Поверхности  $T_1, T_2, T_3$

Чтобы построить тор с той же «дырой» слева, надо поверхности  $T_1, T_2, T_3$  отобразить симметрично относительно плоскости  $y=0$  и сдвинуть их вдоль оси  $y$  на  $2p=7$  единиц. Получим поверхности  $T_1, T_2, T_3$ . Чтобы построить связную сумму двух торов, надо построить поверхности  $T_1, T_2, T_3, T_1, T_2, T_3$ .

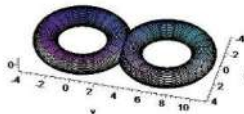


Рисунок 3 – Связная сумма двух торов

**Построение связной суммы двух скрещенных колпаков.** Рассмотрим скрещенный колпак

$$\begin{aligned} r(u, v) = & (\cos(u)\cos(v/2)\cos(v) + 2\cos(v)(1+\sin(u)), \\ & \cos(u)\cos(v/2)\sin(v) + 2\sin(v)(1+\sin(u)), \cos(u)\sin(v/2)), \\ & u \in [-\pi, \pi], v \in [-\pi, \pi]. \end{aligned}$$

Рассмотрим линию пересечения выпуклой части скрещенного колпака с плоскостью  $z=p$ ,  $-1 < p < 1$ . Получим овал. Полагаем

$$1 - \frac{p^2}{\sin^2(v/2)} \geq 0, \quad p = 9/10.$$

Овал состоит из двух ветвей. Построим скрещенный колпак и овал.

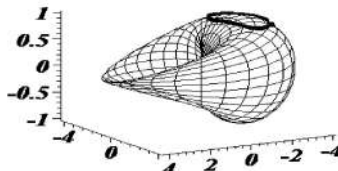


Рисунок 4 – Скрещенный колпак и овал

Вырежем овал. Для этого в уравнении скрещенного колпака а изменим параметры. Рассмотрим поверхности  $K1, K2, K3$

$$K1 : v \in [-\pi, \arcsin(9/10)], u \in [-\pi, \arcsin(9/10) / \sin(v/2)],$$

$$K2 : v \in [2 \arcsin(9/10), 2\pi - 2 \arcsin(9/10)],$$

$$u \in [\arccos(-\sqrt{\sin^2(v/2) - (9/10)^2}), \pi],$$

$$K3 : v \in [-2 \arcsin(9/10), 2 \arcsin(9/10)], u \in [-\pi, \pi].$$

Чтобы построить скрещенный колпак с «дырой» снизу, надо поверхности  $K1, K2, K3$  отобразить симметрично относительно плоскости  $z = 0$  и сдвинуть их вдоль оси  $z$  на  $2p = 9/5$  единиц. Получим поверхности  $K\_1, K\_2, K\_3$ . Построим поверхности  $K1, K2, K3, K\_1, K\_2, K\_3$ .

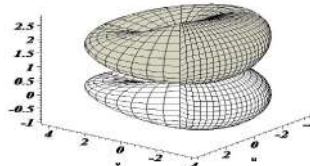


Рисунок 5 – Связная сумма двух скрещенных колпаков

#### Библиографический список

- Масси У., Столлингс Дж. Алгебраическая топология. Введение. М. Изд-во Мир, 1977, 342 с.

**УДК 579.64**

#### Инверсия поверхностей вращения постоянной отрицательной гауссовой кривизны

*M.A. Чешкова*

*АлтГУ, г. Барнаул*

Работа посвящена построению инверсии для поверхностей вращения постоянной отрицательной гауссовой кривизны

**1. Основные формулы.** В евклидовом пространстве  $E^3$  рассмотрим поверхность вращения  $M$ , полученную вращением плоской кривой вокруг оси. Обозначим через  $k = (0, 0, 1)$  — орт оси, а через